

Л. Г. ЛУКЬЯНОВ

## ДВИЖЕНИЕ ВБЛИЗИ ТРЕУГОЛЬНЫХ ЛАГРАНЖЕВЫХ РЕШЕНИЙ ОГРАНИЧЕННОЙ ЭЛЛИПТИЧЕСКОЙ ЗАДАЧИ ТРЕХ ТЕЛ

Получено общее решение уравнений в вариациях в виде рядов, расположенных по степеням некоторого параметра порядка эксцентриситета. Независимая переменная входит в общее решение только под знаками синусов и косинусов.

По полученным формулам проведены вычисления траекторий движения бесконечно малой массы вблизи треугольных лагранжевых решений системы Земля—Луна и проведено сравнение этих вычислений с результатами численного интегрирования уравнений движения ограниченной эллиптической задачи.

### § 1. Дифференциальные уравнения для возмущений

Для исследования движения бесконечно малой массы под действием притяжения двух конечных масс, которые движутся по кеплеровским эллипсам с эксцентриситетом  $e$ , воспользуемся координатами Нехвила  $x, y, z$  с истинной аномалией  $v$  в качестве независимой переменной. Начало координат системы  $Oxyz$  находится в центре инерции конечных масс  $(1-\mu)$  и  $\mu$ , плоскость  $Oxy$  совпадает с плоскостью движения этих масс, ось  $Ox$  направлена на меньшую массу  $\mu$ . Единицы измерений выбраны так, что сумма конечных масс, постоянная тяготения и расстояние между конечными массами равны единице.

Дифференциальные уравнения движения бесконечно малой массы в указанной системе координат имеют вид [1]:

$$\begin{aligned}\frac{d^2x}{dv^2} - 2 \frac{dy}{dv} &= \bar{r} \frac{\partial \Omega}{\partial x}, \\ \frac{d^2y}{dv^2} + 2 \frac{dx}{dv} &= \bar{r} \frac{\partial \Omega}{\partial y}, \\ \frac{d^2z}{dv^2} &= \bar{r} \frac{\partial \Omega}{\partial z},\end{aligned}\quad (1)$$

где

$$\Omega = \frac{1-\mu}{r_1} + \frac{\mu}{r_2} + \frac{x^2+y^2}{2} - \frac{ez^2 \cos v}{2}; \quad \bar{r} = \frac{1}{1+e \cos v},$$

$$r_1^2 = (x+\mu)^2 + y^2 + z^2, \quad r_2^2 = (x-1+\mu)^2 + y^2 + z^2.$$

Уравнения (1) имеют частное решение  $L_4: x_0 = \frac{1-2\mu}{2}$ ,  $y_0 = \frac{\sqrt{3}}{2}$ ,  $z_0 = 0$ , которое означает, что три тела образуют неизменный с течением времени равносторонний треугольник.

Уравнения в вариациях, которые получаются путем разложения правых частей уравнений (1) в ряды по степеням величин  $\xi = x - x_0$ ,  $\eta = y - y_0$ ,  $\zeta = z - z_0$  и сохранения только линейных членов, распадаются на систему четвертого порядка для  $\xi$  и  $\eta$  и систему второго порядка для  $\zeta$ . Последняя легко интегрируется и определяет простые гармонические колебания. Если ввести новые переменные  $x_1 = \xi$ ,  $x_2 = \eta$ ,  $x_3 = \frac{d\xi}{dv}$ ,  $x_4 = \frac{d\eta}{dv}$ , то упомянутую систему четвертого порядка можно записать в виде

$$x' = Px, \quad (2)$$

где  $x$  — матрица-столбец с компонентами  $x_1, x_2, x_3, x_4$ ,

$$P = \begin{pmatrix} 0 & 0 & 1 & 0 \\ 0 & 0 & 0 & 1 \\ \bar{r}\Omega_{xx} & \bar{r}\Omega_{xy} & 0 & 2 \\ \bar{r}\Omega_{yx} & \bar{r}\Omega_{yy} & -2 & 0 \end{pmatrix},$$

$$\Omega_{xx} = \frac{3}{4}, \quad \Omega_{yy} = \frac{9}{4}, \quad \Omega_{xy} = \Omega_{yx} = \frac{3\sqrt{3}}{4}(1-2\mu).$$

В дальнейшем используется разложение матрицы  $P$  в ряд Фурье:

$$P = P^{(0)} + 2\varepsilon D \cos v + 2\varepsilon^2 D \cos 2v + \dots + 2\varepsilon^k D \cos kv + \dots,$$

где

$$P^{(0)} = \begin{pmatrix} 0 & 0 & 1 & 0 \\ 0 & 0 & 0 & 1 \\ \bar{\Omega}_{xx} & \bar{\Omega}_{xy} & 0 & 2 \\ \bar{\Omega}_{yx} & \bar{\Omega}_{yy} & -2 & 0 \end{pmatrix}, \quad D = \begin{pmatrix} 0 & 0 & 0 & 0 \\ 0 & 0 & 0 & 0 \\ \bar{\Omega}_{xx} & \bar{\Omega}_{xy} & 0 & 0 \\ \bar{\Omega}_{yx} & \bar{\Omega}_{yy} & 0 & 0 \end{pmatrix},$$

$$\bar{\Omega}_{xx} = \frac{\Omega_{xx}}{\sqrt{1-e^2}}, \quad \bar{\Omega}_{xy} = \bar{\Omega}_{yx} = \frac{\Omega_{xy}}{\sqrt{1-e^2}}, \quad \bar{\Omega}_{yy} = \frac{\Omega_{yy}}{\sqrt{1-e^2}}, \quad \varepsilon = \frac{\sqrt{1-e^2}-1}{e}.$$

## § 2. Построение общего решения уравнений в вариациях

При  $\varepsilon=0$  система (2) запишется в виде

$$x' = P^{(0)}x. \quad (3)$$

Определяющее уравнение этой системы линейных уравнений с постоянными коэффициентами имеет вид  $|P^{(0)} - \lambda^{(0)}E| = 0$  или  $\lambda^{(0)4} - \phi\lambda^{(0)2} + \psi = 0$ , где обозначено  $\phi = \bar{\Omega}_{xx} + \bar{\Omega}_{yy} - 4$ ,  $\psi = \bar{\Omega}_{xx}\bar{\Omega}_{yy} - \bar{\Omega}_{xy}\bar{\Omega}_{yx}$ .

В дальнейшем будем предполагать, что все корни определяющего уравнения  $\lambda_1^{(0)}, \lambda_2^{(0)}, \lambda_3^{(0)}, \lambda_4^{(0)}$  являются чисто мнимыми и что среди них нет кратных или отличающихся на  $\pm pi$ , т. е.

$$\lambda_j^{(0)} - \lambda_s^{(0)} \neq \pm pi \quad (4)$$

$$(p = 0, 1, 2, \dots; j \neq s; j_s = 1, 2, 3, 4; s = 1, 2, 3, 4; i = \sqrt{-1}).$$

При этих предположениях характеристические показатели системы (2) можно представить в виде рядов [2]:

$$\lambda_j = \lambda_j^{(0)} + \lambda_j^{(1)}\epsilon + \lambda_j^{(2)}\epsilon^2 + \dots, \quad (j = 1, 2, 3, 4). \quad (5)$$

Если все характеристические показатели различны, то система (2) будет иметь четыре независимых решения вида

$$x(v) = e^{\lambda v} y(v), \quad (6)$$

где  $y(v)$  — периодическая функция с периодом  $2\pi$ .

В системе (2) сделаем замену переменных по формуле (6). Тогда уравнения в вариациях запишутся в виде

$$y' = (P - \lambda E) y. \quad (7)$$

Это уравнение для каждого характеристического показателя (5) должно иметь хотя бы одно частное периодическое решение периода  $2\pi$ . Будем искать такие периодические решения в виде рядов

$$y = y^{(0)} + y^{(1)}\epsilon + y^{(2)}\epsilon^2 + \dots \quad (8)$$

Подставим (5) и (8) в (7) и приравняем члены с одинаковыми степенями параметра  $\epsilon$ . Тогда получим

$$y^{(m)'} - (P^{(0)} - \lambda^{(0)}E) y^{(m)} = \sum_{k=1}^m (2D \cos kv - \lambda^{(k)}E) y^{(m-k)}, \quad (m = 0, 1, 2, \dots).$$

Из структуры этих уравнений видно, что функцию  $y^{(m)}$  следует искать в виде  $y^{(m)} = \sum_{k=-m}^m a_k^{(m)} e^{ikv}$ .

Для определения неизвестных коэффициентов  $a_k^{(m)}$ ,  $\lambda^{(m)}$  получаем

$$[P^{(0)} - (\lambda^{(0)} + ik)E] a_k^{(m)} = \sum_{s=1}^m [\lambda^{(s)} E a_k^{(m-s)} - D(a_{k+s}^{(m-s)} + a_{k-s}^{(m-s)})], \quad (9)$$

$$(m = 0, 1, 2, \dots; |k| \leq m).$$

При последовательном определении неизвестных коэффициентов будут иметь место равенства  $\lambda^{(2r+1)} = 0$ , а коэффициенты  $a_k^m$  можно выбирать так, что  $a_k^{(m)} = 0$  при  $(k+m)$  нечетном.

Для произвольного коэффициента  $a_k^{(m)}$  при  $k \neq 0$  получим

$$a_k^{(m)} = Q^{-1}(k) \sum_{j=1}^m [\lambda^{(j)} a^{(m-j)} - D(a_{k-j}^{(m-j)} + a_{k+j}^{(m-j)})], \quad (10)$$

где

$$Q(k) = P^{(0)} - (\lambda^{(0)} + ik)E, \quad E \text{ — единичная матрица.}$$

Если  $k=0$ , то формула (10) не годится, так как  $|Q|=0$ . Однако этой формулой можно пользоваться и в том случае, если через  $Q(0)$  обозначить матрицу  $R$

$$R = \begin{vmatrix} -\lambda^{(0)} & 0 & 1 & 0 \\ 0 & -\lambda^{(0)} & 0 & 1 \\ \bar{Q}_{xx} & \bar{Q}_{xy} & -\lambda^{(0)} 2 & \\ 0 & 0 & 0 & 1 \end{vmatrix}.$$

Это возможно сделать ввиду произвольности выбора четвертого элемента матрицы-столбца  $a_0^{(m)}$ .

Коэффициенты, определяющие одно из возможных частных решений (6) с точностью до  $\varepsilon^2$  включительно, приводятся ниже.

$$a_0^{(0)} = \left\| \begin{array}{l} \lambda^{(0)^2} - \bar{\Omega}_{yy} \\ -(2\lambda^{(0)} - \bar{\Omega}_{xy}) \\ \lambda^{(0)} (\lambda^{(0)^2} - \bar{\Omega}_{yy}) \\ -\lambda^{(0)} (2\lambda^{(0)} - \bar{\Omega}_{xy}) \end{array} \right\|, \quad \begin{array}{l} \lambda^{(1)} = 0, \quad a_0^{(1)} = 0, \\ a_1^{(1)} = -[P^{(0)} - (\lambda^{(0)} + i)E]^{-1} D a_0^{(0)}, \\ a_{-1}^{(1)} = -[P^{(0)} - (\lambda^{(0)} - i)E]^{-1} D a_0^{(0)}, \end{array}$$

$$\lambda^{(2)} = \frac{\alpha \lambda^{(0)^2} + \beta}{\gamma \lambda^{(0)^2} + \delta},$$

$$\alpha = -(\varphi + 1)^2 (\varphi + 4)^2 + 4\psi (\varphi^2 + 6\varphi - 1) - 8\psi^2,$$

$$\beta = \psi (\varphi + 1) (\varphi + 4) (\varphi + 5) - 4\psi^2 (\varphi + 8),$$

$$\gamma = [(\varphi + 1)^2 - 4\psi] [\varphi (4\varphi + 1) - 8\psi],$$

$$\delta = -2\psi (2\varphi + 1) [(\varphi + 1)^2 - 4\psi],$$

$$a_0^{(2)} = \frac{1}{\lambda^{(0)^2} - \bar{\Omega}_{xx}} \left\| \begin{array}{l} -(\lambda^{(0)^2} - \bar{\Omega}_{yy}) f_1 + (2\lambda^{(0)} - \bar{\Omega}_{xy}) f_2 + 2\lambda^{(0)^2} (\lambda^{(0)^2} - \bar{\Omega}_{yy}) \frac{\lambda^{(2)}}{\lambda^{(0)}} - \\ - \bar{\Omega}_{xy} (2\lambda^{(0)} - \bar{\Omega}_{xy}) \frac{\lambda^{(2)}}{\lambda^{(0)}} \\ - (2\lambda^{(0)} - \bar{\Omega}_{xy}) (\lambda^{(0)^2} - \bar{\Omega}_{xx}) \frac{\lambda^{(2)}}{\lambda^{(0)}} \\ \lambda^{(0)} [ -(\lambda^{(0)^2} - \bar{\Omega}_{yy}) f_1 + (2\lambda^{(0)} - \bar{\Omega}_{xy}) f_2 ] + \\ + \lambda^{(0)} (\lambda^{(0)^2} - \bar{\Omega}_{yy}) (\lambda^{(0)^2} + \bar{\Omega}_{xx}) \frac{\lambda^{(2)}}{\lambda^{(0)}} - \bar{\Omega}_{xy} \lambda^{(0)} (2\lambda^{(0)} - \bar{\Omega}_{xy}) \frac{\lambda^{(2)}}{\lambda^{(0)}} \end{array} \right\|,$$

0

$$f_1 = \{ -\bar{\Omega}_{xx} [(\varphi + 1)(\varphi + 4) - 6] + \psi (\varphi + 1) \} \lambda^{(0)^2} + \{ -\bar{\Omega}_{xx} [(\varphi + 1)(\varphi + 4) + 3\psi (\varphi + 3)] + \psi (\varphi + 1 + 2\psi) \},$$

$$f_2 = -4\psi \lambda^{(0)^2} - \bar{\Omega}_{xy} [(\varphi + 1)(\varphi + 4) - 6\psi] \lambda^{(0)^2} - 2\psi (\varphi + 3) \lambda^{(0)} - \bar{\Omega}_{xy} [(\varphi + 1)(\varphi + 4) + 3\psi (\varphi + 3)],$$

$$a_1^{(2)} = 0, \quad a_{-1}^{(2)} = 0,$$

$$a_2^{(2)} = [P^{(0)} - (\lambda^{(0)} + 2i)E]^{-1} D [P^{(0)} - (\lambda^{(0)} + i)E]^{-1} D a_0^{(0)} - [P^{(0)} - (\lambda^{(0)} + 2i)E]^{-1} D a_0^{(0)},$$

$$a_{-2}^{(2)} = [P^{(0)} - (\lambda^{(0)} - 2i)E]^{-1} D [P^{(0)} - (\lambda^{(0)} - i)E]^{-1} D a_0^{(0)} - [P^{(0)} - (\lambda^{(0)} - 2i)E]^{-1} D a_0^{(0)}.$$

Четвертый элемент матрицы-столбца  $a_1^{(2)}$  и вся матрица-столбец  $a_0^{(1)}$  ввиду произвольности их выбора положены равными нулю.

Таким путем могут быть построены четыре независимых частных решения (6), которые определяют фундаментальную матрицу решений.

Общее решение системы (2) тогда запишется в виде  $x(v) = X'(v)C$ , где  $X'$  — транспонированная фундаментальная матрица решений,  $C$  — матрица-столбец произвольных постоянных.

### § 3. Окончательные формулы

Полученная фундаментальная матрица решений является матрицей с комплексными элементами, что неудобно при вычислениях. Фундаментальную матрицу с вещественными элементами можно получить из действительных и мнимых частей элементов полученной матрицы.

Фундаментальную матрицу решений с вещественными элементами будем также обозначать через  $X$ . Тогда для  $X$  имеем

$$X = X^{(0)} + \varepsilon X^{(1)} + \varepsilon^2 X^{(2)} + \dots$$

Введем обозначения:

$$\lambda_1 = i\Lambda_1, \lambda_2 = -i\Lambda_1, \lambda_3 = i\Lambda_2, \lambda_4 = -i\Lambda_2,$$

где  $i = \sqrt{-1}$ , а  $\Lambda_1, \Lambda_2$  — действительные величины,

$$\Lambda_1 = \Lambda_1^{(0)} + \Lambda_1^{(2)}\varepsilon^2 + \dots, \Lambda_2 = \Lambda_2^{(0)} + \Lambda_2^{(2)}\varepsilon^2 + \dots$$

Ниже приводятся выражения для матриц  $X^{(0)}, X^{(1)}$  и  $X^{(2)}$ .

$$X^{(0)} = \begin{pmatrix} (\Lambda_1^{(0)^2} + \bar{\Omega}_{yy}) \cos \Lambda_1 v; & -\bar{\Omega}_{xy} \cos \Lambda_1 v - 2\Lambda_1^{(0)} \sin \Lambda_1 v; \\ -\Lambda_1^{(0)} (\Lambda_1^{(0)^2} + \bar{\Omega}_{yy}) \sin \Lambda_1 v; & -2\Lambda_1^{(0)^2} \cos \Lambda_1 v + \bar{\Omega}_{xy} \Lambda_1^{(0)} \sin \Lambda_1 v \\ (\Lambda_1^{(0)^2} + \bar{\Omega}_{yy}) \sin \Lambda_1 v; & -\bar{\Omega}_{xy} \sin \Lambda_1 v + 2\Lambda_1^{(0)} \cos \Lambda_1 v; \\ \Lambda_1^{(0)} (\Lambda_1^{(0)^2} + \bar{\Omega}_{yy}) \cos \Lambda_1 v; & -2\Lambda_1^{(0)^2} \sin \Lambda_1 v - \bar{\Omega}_{xy} \Lambda_1^{(0)} \cos \Lambda_1 v \\ (\Lambda_2^{(0)^2} + \bar{\Omega}_{yy}) \cos \Lambda_2 v; & -\bar{\Omega}_{xy} \cos \Lambda_2 v - 2\Lambda_2^{(0)} \sin \Lambda_2 v; \\ -\Lambda_2^{(0)} (\Lambda_2^{(0)^2} + \bar{\Omega}_{yy}) \sin \Lambda_2 v; & -2\Lambda_2^{(0)^2} \cos \Lambda_2 v + \bar{\Omega}_{xy} \Lambda_2^{(0)} \sin \Lambda_2 v \\ (\Lambda_2^{(0)^2} + \bar{\Omega}_{yy}) \sin \Lambda_2 v; & -\bar{\Omega}_{xy} \sin \Lambda_2 v + 2\Lambda_2^{(0)} \cos \Lambda_2 v; \\ \Lambda_2^{(0)} (\Lambda_2^{(0)^2} + \bar{\Omega}_{yy}) \cos \Lambda_2 v; & -2\Lambda_2^{(0)^2} \sin \Lambda_2 v - \bar{\Omega}_{xy} \Lambda_2^{(0)} \cos \Lambda_2 v \end{pmatrix}$$

$$X^{(1)} = \begin{pmatrix} x_{11}^{(1)} & x_{12}^{(1)} & x_{13}^{(1)} & x_{14}^{(1)} \\ x_{21}^{(1)} & x_{22}^{(1)} & x_{23}^{(1)} & x_{24}^{(1)} \\ x_{31}^{(1)} & x_{32}^{(1)} & x_{33}^{(1)} & x_{34}^{(1)} \\ x_{41}^{(1)} & x_{42}^{(1)} & x_{43}^{(1)} & x_{44}^{(1)} \end{pmatrix}, \quad X^{(2)} = \begin{pmatrix} x_{11}^{(2)} & x_{12}^{(2)} & x_{13}^{(2)} & x_{14}^{(2)} \\ x_{21}^{(2)} & x_{22}^{(2)} & x_{23}^{(2)} & x_{24}^{(2)} \\ x_{31}^{(2)} & x_{32}^{(2)} & x_{33}^{(2)} & x_{34}^{(2)} \\ x_{41}^{(2)} & x_{42}^{(2)} & x_{43}^{(2)} & x_{44}^{(2)} \end{pmatrix}$$

$$x_{11}^{(1)} = -\frac{a(\Lambda_1^{(0)} + 1)}{\Delta(\Lambda_1^{(0)} + 1)} \cos(\Lambda_1 + 1)v + \frac{c(\Lambda_1^{(0)} + 1)}{\Delta(\Lambda_1^{(0)} + 1)} \sin(\Lambda_1 + 1)v -$$

$$-\frac{a(\Lambda_1^{(0)} - 1)}{\Delta(\Lambda_1^{(0)} - 1)} \cos(\Lambda_1 - 1)v - \frac{c(\Lambda_1^{(0)} - 1)}{\Delta(\Lambda_1^{(0)} - 1)} \sin(\Lambda_1 - 1)v,$$

$$x_{12}^{(1)} = \frac{b(\Lambda_1^{(0)} + 1)}{\Delta(\Lambda_1^{(0)} + 1)} \cos(\Lambda_1 + 1)v + \frac{d(\Lambda_1^{(0)} + 1)}{\Delta(\Lambda_1^{(0)} + 1)} \sin(\Lambda_1 + 1)v +$$

$$+\frac{b(\Lambda_1^{(0)} - 1)}{\Delta(\Lambda_1^{(0)} - 1)} \cos(\Lambda_1 - 1)v + \frac{d(\Lambda_1^{(0)} - 1)}{\Delta(\Lambda_1^{(0)} - 1)} \sin(\Lambda_1 - 1)v,$$

$$x_{13}^{(1)} = \frac{\Lambda_1^{(0)} + 1}{\Delta(\Lambda_1^{(0)} + 1)} [c(\Lambda_1^{(0)} + 1) \cos(\Lambda_1 + 1)v + a(\Lambda_1^{(0)} + 1) \sin(\Lambda_1 + 1)v] +$$

$$+ \frac{\Lambda_1^{(0)} - 1}{\Delta(\Lambda_1^{(0)} - 1)} [-c(\Lambda_1^{(0)} - 1) \cos(\Lambda_1 - 1)v + a(\Lambda_1^{(0)} - 1) \sin(\Lambda_1 - 1)v],$$

$$x_{14}^{(1)} = \frac{\Lambda_1^{(0)} + 1}{\Delta(\Lambda_1^{(0)} + 1)} [d(\Lambda_1^{(0)} + 1) \cos(\Lambda_1 + 1)v - b(\Lambda_1^{(0)} + 1) \sin(\Lambda_1 + 1)v] +$$

$$+ \frac{\Lambda_1^{(0)} - 1}{\Delta(\Lambda_1^{(0)} - 1)} [d(\Lambda_1^{(0)} - 1) \cos(\Lambda_1 - 1)v - b(\Lambda_1^{(0)} - 1) \sin(\Lambda_1 - 1)v],$$

$$a(K) = 4\bar{\Omega}_{yy}\Lambda_k^{(0)} + \psi(\Lambda_k^{(0)^2} + \bar{\Omega}_{yy}) + K^2(\psi + \bar{\Omega}_{xx}\Lambda_k^{(0)^2}),$$

$$b(K) = \bar{\Omega}_{xy}(4\Lambda_k^{(0)}K + \psi - K^2\Lambda_k^{(0)^2}), \quad c(K) = 2\bar{\Omega}_{xy}\Lambda_k^{(0)}K,$$

$$d(K) = 2[K(\psi + \bar{\Omega}_{xx}\Lambda_k^{(0)^2}) + \Lambda_k^{(0)}(\psi + \bar{\Omega}_{yy}K^2)],$$

$$\Delta(K) = K^4 + \varphi K^2 + \psi,$$

$$x_{11}^{(2)} = -\frac{p(\Lambda_1^{(0)})}{\Lambda_1^{(0)^2 + \bar{\Omega}_{xx}} \cos \Lambda_1 v - \frac{r(\Lambda_1^{(0)})}{\Lambda_1^{(0)^2 + \bar{\Omega}_{xx}} \sin \Lambda_1 v +$$

$$+ \left[ \frac{e(\Lambda_1^{(0)} + 2, \Lambda_1^{(0)} + 1)}{\Delta(\Lambda_1^{(0)} + 1)\Delta(\Lambda_1^{(0)} + 2)} - \frac{a(\Lambda_1^{(0)} + 2)}{\Delta(\Lambda_1^{(0)} + 2)} \right] \cos(\Lambda_1 + 2)v +$$

$$+ \left[ \frac{g(\Lambda_1^{(0)} + 2, \Lambda_1^{(0)} + 1)}{\Delta(\Lambda_1^{(0)} + 1)\Delta(\Lambda_1^{(0)} + 2)} + \frac{2c(\Lambda_1^{(0)} + 2)}{\Delta(\Lambda_1^{(0)} + 2)} \right] \sin(\Lambda_1 + 2)v +$$

$$+ \left[ \frac{e(\Lambda_1^{(0)} - 2, \Lambda_1^{(0)} - 1)}{\Delta(\Lambda_1^{(0)} - 1)\Delta(\Lambda_1^{(0)} - 2)} - \frac{a(\Lambda_1^{(0)} - 2)}{\Delta(\Lambda_1^{(0)} - 2)} \right] \cos(\Lambda_1 - 2)v +$$

$$+ \left[ \frac{g(\Lambda_1^{(0)} - 2, \Lambda_1^{(0)} - 1)}{\Delta(\Lambda_1^{(0)} - 1)\Delta(\Lambda_1^{(0)} - 2)} - \frac{2c(\Lambda_1^{(0)} - 2)}{\Delta(\Lambda_1^{(0)} - 2)} \right] \sin(\Lambda_1 - 2)v,$$

$$x_{12}^{(2)} = -\frac{q(\Lambda_1^{(0)})\bar{\Omega}_{xx}}{\Lambda_1^{(0)^2 + \bar{\Omega}_{xx}} \cos \Lambda_1 v - \frac{2\Lambda_1^{(0)}q(\Lambda_1^{(0)})}{\Lambda_1^{(0)^2 + \bar{\Omega}_{xx}} \sin \Lambda_1 v +$$

$$+ \left[ \frac{f(\Lambda_1^{(0)} + 2, \Lambda_1^{(0)} + 1)}{\Delta(\Lambda_1^{(0)} + 1)\Delta(\Lambda_1^{(0)} + 2)} + \frac{b(\Lambda_1^{(0)} + 2)}{\Delta(\Lambda_1^{(0)} + 2)} \right] \cos(\Lambda_1 + 2)v +$$

$$+ \left[ \frac{h(\Lambda_1^{(0)} + 2, \Lambda_1^{(0)} + 1)}{\Delta(\Lambda_1^{(0)} + 1)\Delta(\Lambda_1^{(0)} + 2)} + \frac{d(\Lambda_1^{(0)} + 2)}{\Delta(\Lambda_1^{(0)} + 2)} \right] \sin(\Lambda_1 + 2)v +$$

$$+ \left[ \frac{f(\Lambda_1^{(0)} - 2, \Lambda_1^{(0)} - 1)}{\Delta(\Lambda_1^{(0)} - 1)\Delta(\Lambda_1^{(0)} - 2)} + \frac{b(\Lambda_1^{(0)} - 2)}{\Delta(\Lambda_1^{(0)} - 2)} \right] \cos(\Lambda_1 - 2)v +$$

$$+ \left[ \frac{h(\Lambda_1^{(0)} - 2, \Lambda_1^{(0)} - 1)}{\Delta(\Lambda_1^{(0)} - 1)\Delta(\Lambda_1^{(0)} - 2)} + \frac{d(\Lambda_1^{(0)} - 2)}{\Delta(\Lambda_1^{(0)} - 2)} \right] \sin(\Lambda_1 - 2)v,$$

$$\begin{aligned}
x_{13}^{(2)} = & \frac{\Lambda_1^{(0)} r(\Lambda_1^{(0)})}{\Lambda_1^{(0)2} + \bar{\Omega}_{xx}} \cos \Lambda_1 v + \frac{\Lambda_1^{(0)} p(\Lambda_1^{(0)}) + (\Lambda_1^{(0)2} + \bar{\Omega}_{yy}) q(\Lambda_1^{(0)})}{\Lambda_1^{(0)2} + \bar{\Omega}_{xx}} \sin \Lambda_1 v + \\
& + \left[ \frac{g(\Lambda_1^{(0)} + 2, \Lambda_1^{(0)} + 1)}{\Delta(\Lambda_1^{(0)} + 1) \Delta(\Lambda_1^{(0)} + 2)} + \frac{2c(\Lambda_1^{(0)} + 2)}{\Delta(\Lambda_1^{(0)} + 2)} \right] (\Lambda_1^{(0)} + 2) \cos(\Lambda_1 + 2) v + \\
& + \left[ -\frac{e(\Lambda_1^{(0)} + 2, \Lambda_1^{(0)} + 1)}{\Delta(\Lambda_1^{(0)} + 1) \Delta(\Lambda_1^{(0)} + 2)} + \frac{a(\Lambda_1^{(0)} + 2)}{\Delta(\Lambda_1^{(0)} + 2)} \right] (\Lambda_1^{(0)} + 2) \sin(\Lambda_1 + 2) v + \\
& + \left[ \frac{g(\Lambda_1^{(0)} - 2, \Lambda_1^{(0)} - 1)}{\Delta(\Lambda_1^{(0)} - 1) \Delta(\Lambda_1^{(0)} - 2)} - \frac{2c(\Lambda_1^{(0)} - 2)}{\Delta(\Lambda_1^{(0)} - 2)} \right] (\Lambda_1^{(0)} - 2) \cos(\Lambda_1 - 2) v + \\
& + \left[ -\frac{e(\Lambda_1^{(0)} - 2, \Lambda_1^{(0)} - 1)}{\Delta(\Lambda_1^{(0)} - 1) \Delta(\Lambda_1^{(0)} - 2)} + \frac{a(\Lambda_1^{(0)} - 2)}{\Delta(\Lambda_1^{(0)} - 2)} \right] (\Lambda_1^{(0)} - 2) \sin(\Lambda_1 - 2) v, \\
x_{14}^{(2)} = & \left[ \frac{h(\Lambda_1^{(0)} + 2, \Lambda_1^{(0)} + 1)}{\Delta(\Lambda_1^{(0)} + 1) \Delta(\Lambda_1^{(0)} + 2)} + \frac{d(\Lambda_1^{(0)} + 2)}{\Delta(\Lambda_1^{(0)} + 2)} \right] (\Lambda_1^{(0)} + 2) \cos(\Lambda_1 + 2) v + \\
& + \left[ -\frac{f(\Lambda_1^{(0)} + 2, \Lambda_1^{(0)} + 1)}{\Delta(\Lambda_1^{(0)} + 1) \Delta(\Lambda_1^{(0)} + 2)} - \frac{b(\Lambda_1^{(0)} + 2)}{\Delta(\Lambda_1^{(0)} + 2)} \right] (\Lambda_1^{(0)} + 2) \sin(\Lambda_1 + 2) v + \\
& + \left[ \frac{h(\Lambda_1^{(0)} - 2, \Lambda_1^{(0)} - 1)}{\Delta(\Lambda_1^{(0)} - 1) \Delta(\Lambda_1^{(0)} - 2)} + \frac{d(\Lambda_1^{(0)} - 2)}{\Delta(\Lambda_1^{(0)} - 2)} \right] (\Lambda_1^{(0)} - 2) \cos(\Lambda_1 - 2) v + \\
& + \left[ -\frac{f(\Lambda_1^{(0)} - 2, \Lambda_1^{(0)} - 1)}{\Delta(\Lambda_1^{(0)} - 1) \Delta(\Lambda_1^{(0)} - 2)} - \frac{b(\Lambda_1^{(0)} - 2)}{\Delta(\Lambda_1^{(0)} - 2)} \right] (\Lambda_1^{(0)} - 2) \sin(\Lambda_1 - 2) v, \\
e(L, K) = & (2\bar{\Omega}_{xx} L^2 + \psi) a(K) - \bar{\Omega}_{xy} L^2 b(K) - 2\bar{\Omega}_{xy} L (\Lambda_k^{(0)} - K) c(K) + \\
& + 2\bar{\Omega}_{yy} L d(K), \\
f(L, K) = & \bar{\Omega}_{xy} L^2 a(K) - (\bar{\Omega}_{yy} L^2 + \psi) b(K) + 2\bar{\Omega}_{xx} L (\Lambda_k^{(0)} - K) c(K) - \\
& - 2\bar{\Omega}_{xy} L d(K), \\
g(L, K) = & 2\bar{\Omega}_{xy} L a(K) - 2\bar{\Omega}_{yy} L b(K) + (\bar{\Omega}_{xx} L^2 + \psi) (\Lambda_k^{(0)} - K) c(K) - \\
& - \bar{\Omega}_{xy} L^2 d(K), \\
h(L, K) = & -2\bar{\Omega}_{xx} L a(K) + 2\bar{\Omega}_{xy} L b(K) + \bar{\Omega}_{xy} L^2 (\Lambda_k^{(0)} - K) c(K) - \\
& - (\bar{\Omega}_{yy} L^2 + \psi) d(K), \\
p(\Lambda^{(0)}) = & (\Lambda^{(0)2} + \bar{\Omega}_{yy}) f_1 - 4\psi \Lambda^{(0)2} [2\Lambda^{(0)2} - (\varphi + 3)] - \bar{\Omega}_{xy}^2 [(\varphi + 1)(\varphi + 4) - \\
& - 6\psi] \Lambda^{(0)2} + \bar{\Omega}_{xy}^2 [(\varphi + 1)(\varphi + 4) + 3\psi(\varphi + 3)] + \\
& + \bar{\Omega}_{xy}^2 \frac{\Lambda^{(2)}}{\Lambda^{(0)}} + 2\Lambda^{(0)} \Lambda^{(2)} (\Lambda^{(0)2} + \bar{\Omega}_{yy}), \\
r(\Lambda^{(0)}) = & 2\Lambda^{(0)} \bar{\Omega}_{xy} \left\{ \psi [2\Lambda^{(0)2} - (\varphi + 3)] - \right. \\
& \left. - \Lambda^{(0)2} [(\varphi + 1)(\varphi + 4) - 6\psi] + [(\varphi + 1)(\varphi + 4) + 3\psi(\varphi + 3)] + \frac{\Lambda^{(2)}}{\Lambda^{(0)}} \right\}, \\
q(\Lambda^{(0)}) = & -(\Lambda^{(0)2} + \bar{\Omega}_{xx}) \frac{\Lambda^{(2)}}{\Lambda^{(0)}}.
\end{aligned}$$

Нижний индекс у  $\Lambda_k^{(0)}$  совпадает с нижним индексом величины  $\Lambda^{(0)}$ , входящей в аргумент  $K$ .

Остальные элементы матрицы  $X^{(1)}$  определяются по следующим правилам: если  $\Lambda_1^{(0)}$  и  $\Lambda_1$  заменить соответственно величинами  $\Lambda_2^{(0)}$  и  $\Lambda_2$ , то выражения для элементов  $x_{11}^{(1)}$ ,  $x_{12}^{(1)}$ ,  $x_{13}^{(1)}$ ,  $x_{14}^{(1)}$  или  $x_{21}^{(1)}$ ,  $x_{22}^{(1)}$ ,  $x_{23}^{(1)}$ ,  $x_{24}^{(1)}$  перейдут соответственно в выражения для элементов  $x_{31}^{(1)}$ ,  $x_{32}^{(1)}$ ,  $x_{33}^{(1)}$ ,  $x_{34}^{(1)}$  или  $x_{41}^{(1)}$ ,  $x_{42}^{(1)}$ ,  $x_{43}^{(1)}$ ,  $x_{44}^{(1)}$ ; если в выражениях для элементов  $x_{11}^{(1)}$ ,  $x_{12}^{(1)}$ ,  $x_{13}^{(1)}$ ,  $x_{14}^{(1)}$  или  $x_{31}^{(1)}$ ,  $x_{32}^{(1)}$ ,  $x_{33}^{(1)}$ ,  $x_{34}^{(1)}$  заменить все входящие в них синусы на косинусы с обратным знаком, а косинусы на синусы, то выражения для этих элементов преобразуются соответственно в выражения для элементов  $x_{21}^{(1)}$ ,  $x_{22}^{(1)}$ ,  $x_{23}^{(1)}$ ,  $x_{24}^{(1)}$  или  $x_{41}^{(1)}$ ,  $x_{42}^{(1)}$ ,  $x_{43}^{(1)}$ ,  $x_{44}^{(1)}$ . Точно такими же свойствами обладают элементы матрицы  $X^{(2)}$ .

В заключение этого параграфа заметим, что полученное решение пригодно также для исследования движения малой массы вблизи второго треугольного решения  $L_5$ . Для этого во всех предыдущих формулах знак перед величиной  $\Omega_{xy}$  следует изменить на обратный.

#### § 4. Вычисление траекторий движения для системы Земля—Луна. Сравнение с результатами численного интегрирования

В этом параграфе приведены результаты расчетов траекторий движения малой массы вблизи треугольной точки  $L_4$  системы Земля—Луна. Эксцентриситет орбиты Луны и отношение массы Земли к массе Луны принимались равными [3]:

$$e = 0,054900489, \quad 1 : m = 81,53.$$

Тогда корни определяющего уравнения получаются чисто мнимыми, а величины  $\Lambda_1^{(0)}$  и  $\Lambda_2^{(0)}$  имеют значения:

$$\Lambda_1^{(0)} = 0,2991, \quad \Lambda_2^{(0)} = 0,9518.$$

Условия (4) выполняются.

Элементы матриц  $X^{(0)}$ ,  $X^{(1)}$  и  $X^{(2)}$  при этих исходных данных оказываются равными:

$$x_{11}^{(0)} = 2,3428 \cos \Lambda_1 v, \quad x_{12}^{(0)} = -1,2695 \cos \Lambda_1 v - 0,5982 \sin \Lambda_1 v,$$

$$x_{13}^{(0)} = -0,7007 \sin \Lambda_1 v, \quad x_{14}^{(0)} = -0,1789 \cos \Lambda_1 v + 0,3797 \sin \Lambda_1 v,$$

$$x_{31}^{(0)} = 3,1594 \cos \Lambda_2 v, \quad x_{32}^{(0)} = -1,2695 \cos \Lambda_2 v - 1,9037 \sin \Lambda_2 v,$$

$$x_{33}^{(0)} = -3,0073 \sin \Lambda_2 v, \quad x_{34}^{(0)} = -1,8120 \cos \Lambda_2 v + 1,2083 \sin \Lambda_2 v,$$

$$x_{11}^{(1)} = -3,1559 \cos (\Lambda_1 + 1) v + 0,7897 \sin (\Lambda_1 + 1) v - \\ - 9,7616 \cos (\Lambda_1 - 1) v - 3,1936 \sin (\Lambda_1 - 1) v,$$

$$x_{12}^{(1)} = 1,5084 \cos (\Lambda_1 + 1) v + 2,1682 \sin (\Lambda_1 + 1) v + \\ + 6,1047 \cos (\Lambda_1 - 1) v - 3,0175 \sin (\Lambda_1 - 1) v,$$

$$x_{13}^{(1)} = 1,0259 \cos (\Lambda_1 + 1) v + 4,0998 \sin (\Lambda_1 + 1) v + \\ + 2,2385 \cos (\Lambda_1 - 1) v - 6,8421 \sin (\Lambda_1 - 1) v,$$

$$\begin{aligned}
x_{14}^{(1)} &= 2,8167 \cos (\Lambda_1 + 1) v - 1,9595 \sin (\Lambda_1 + 1) v + \\
&\quad + 2,1150 \cos (\Lambda_1 - 1) v + 4,2789 \sin (\Lambda_1 - 1) v, \\
x_{31}^{(1)} &= -1,8425 \cos (\Lambda_2 + 1) v + 0,4367 \sin (\Lambda_2 + 1) v + \\
&\quad + 1,9722 \cos (\Lambda_2 - 1) v + 1,4778 \sin (\Lambda_2 - 1) v, \\
x_{32}^{(1)} &= 0,4772 \cos (\Lambda_2 + 1) v + 1,8024 \sin (\Lambda_2 + 1) v - \\
&\quad - 1,6829 \cos (\Lambda_2 - 1) v + 1,1543 \sin (\Lambda_2 - 1) v, \\
x_{33}^{(1)} &= 0,8523 \cos (\Lambda_2 + 1) v + 3,5962 \sin (\Lambda_2 + 1) v - \\
&\quad - 0,0711 \cos (\Lambda_2 - 1) v + 0,0950 \sin (\Lambda_2 - 1) v, \\
x_{34}^{(1)} &= 3,5180 \cos (\Lambda_2 + 1) v - 0,9314 \sin (\Lambda_2 + 1) v - \\
&\quad - 0,0556 \cos (\Lambda_2 - 1) v - 0,0810 \sin (\Lambda_2 - 1) v, \\
x_{11}^{(2)} &= 0,9923 \cos (\Lambda_1 + 2) v - 0,5041 \sin (\Lambda_1 + 2) v + 7,2544 \cos (\Lambda_1 - 2) v + \\
&\quad + 4,5712 \sin (\Lambda_1 - 2) v - 13,5317 \cos \Lambda_1 v - 5,4121 \sin \Lambda_1 v, \\
x_{12}^{(2)} &= -0,4091 \cos (\Lambda_1 + 2) v - 1,1229 \sin (\Lambda_1 + 2) v - 5,0971 \cos (\Lambda_1 - 2) v + \\
&\quad + 6,0362 \sin (\Lambda_1 - 2) v + 4,2066 \cos \Lambda_1 v + 3,3471 \sin \Lambda_1 v, \\
x_{13}^{(2)} &= -1,1589 \cos (\Lambda_1 + 2) v - 2,2812 \sin (\Lambda_1 + 2) v - 7,7764 \cos (\Lambda_1 - 2) v + \\
&\quad + 12,3410 \sin (\Lambda_1 - 2) v - 1,6173 \cos \Lambda_1 v - 9,0764 \sin \Lambda_1 v, \\
x_{14}^{(2)} &= -2,5814 \cos (\Lambda_1 + 2) v + 0,9405 \sin (\Lambda_1 + 2) v - \\
&\quad - 10,2686 \cos (\Lambda_1 - 2) v - 8,6711 \sin (\Lambda_1 - 2) v, \\
x_{31}^{(2)} &= 0,0291 \cos (\Lambda_2 + 2) v - 0,0163 \sin (\Lambda_2 + 2) v - 4,7606 \cos (\Lambda_2 - 2) v - \\
&\quad - 3,0053 \sin (\Lambda_2 - 2) v - 17,2378 \cos \Lambda_2 v - 7,1292 \sin \Lambda_2 v, \\
x_{32}^{(2)} &= -0,0018 \cos (\Lambda_2 + 2) v - 0,0434 \sin (\Lambda_2 + 2) v + 3,7239 \cos (\Lambda_2 - 2) v - \\
&\quad - 1,8959 \sin (\Lambda_2 - 2) v + 2,9867 \cos \Lambda_2 v + 7,5703 \sin \Lambda_2 v, \\
x_{33}^{(2)} &= -0,0482 \cos (\Lambda_2 + 2) v - 0,0859 \sin (\Lambda_2 + 2) v + 3,1498 \cos (\Lambda_2 - 2) v - \\
&\quad - 4,9895 \sin (\Lambda_2 - 2) v - 6,7865 \cos \Lambda_2 v + 3,8458 \sin \Lambda_2 v, \\
x_{34}^{(2)} &= -0,1282 \cos (\Lambda_2 + 2) v + 0,0054 \sin (\Lambda_2 + 2) v + \\
&\quad + 1,9871 \cos (\Lambda_2 - 2) v + 3,9029 \sin (\Lambda_2 - 2) v.
\end{aligned}$$

где  $\Lambda_1$  и  $\Lambda_2$  — частоты долгопериодического и короткопериодического движений.

$$\Lambda_1 = \Lambda_1^{(0)} + \varepsilon^2 \Lambda_1^{(2)} = 0,3003, \quad \Lambda_2 = \Lambda_2^{(0)} + \varepsilon^2 \Lambda_2^{(2)} = 0,9547.$$

Невыписанные элементы матриц фундаментальной системы решений определяются по правилу, указанному в предыдущем параграфе.

По полученной фундаментальной матрице решений были проведены расчеты траекторий движения малой массы для нижеследующих вариантов начальных условий (при  $v=0$ ).

Вариант 1:  $x_1 = 0,0001$ ,  $x_2 = 0$ ,  $x_3 = 0$ ,  $x_4 = 0$ ,

вариант 2:  $x_1 = 0,001$ ,  $x_2 = 0$ ,  $x_3 = 0$ ,  $x_4 = 0$ ,

вариант 3:  $x_1 = 0,01$ ,  $x_2 = 0$ ,  $x_3 = 0$ ,  $x_4 = 0$ ,

вариант 4:  $x_1 = 0$ ,  $x_2 = 0,0001$ ,  $x_3 = 0$ ,  $x_4 = 0$ ,

вариант 5:  $x_1 = 0$ ,  $x_2 = 0$ ,  $x_3 = 0,0001$ ,  $x_4 = 0$ ,

вариант 6:  $x_1 = 0$ ,  $x_2 = 0$ ,  $x_3 = 0$ ,  $x_4 = 0,0001$ .

Результаты расчетов приведены на рис. 1—6 и в таблицах. Там же приведены результаты расчетов этих же вариантов путем численного интегрирования полной системы дифференциальных уравнений (1) методом Рунге—Кутты с переменным шагом на электронной вычислительной машине.

вариант 1

$k$	$x_1 \cdot 10^3$	$x_2 \cdot 10^3$	$[x_1^{(0)} + \epsilon x_1^{(1)}] 10^3$	$[x_2^{(0)} + \epsilon x_2^{(1)}] 10^3$	$(x_1)_r \cdot 10^3$	$(x_2)_r \cdot 10^3$
1	+1,2450	-1,0321	+1,2479	-1,0336	+1,2105	-1,0098
2	-0,9197	+0,1156	-0,9196	+0,1124	-0,9148	+0,1190
3	-0,4846	+0,3590	-0,4844	+0,3610	-0,4668	+0,3470
4	+1,6353	-0,9694	+1,6392	-0,9691	+1,6036	-0,9556
5	+0,0792	-0,3697	+0,0811	-0,3736	+0,0577	-0,3539
6	-0,9347	+0,6571	-0,9349	+0,6574	-0,9072	+0,6392
7	+1,3317	-0,4653	+1,3346	-0,4632	+1,3202	-0,4672
8	+0,9583	-0,6499	+0,9609	-0,6528	+0,9187	-0,6294
9	-1,1290	+0,7567	-1,1303	+0,7554	-1,1081	+0,7442
10	+0,4207	+0,2492	+0,4211	+0,2524	+0,4379	+0,2311
11	+1,3782	-0,6700	+1,3800	-0,6706	+1,3386	-0,6554
21	+1,0517	-0,9162	+1,0535	-0,9170	+1,0096	-0,8943
31	+1,5277	-0,8063	+1,5306	-0,8069	+1,4676	-0,7824
41	+0,9300	-0,7683	+0,9311	-0,7682	+0,8750	-0,7475
51	+1,5807	-0,9489	+1,5844	-0,9496	+1,5050	-0,9161
61	+0,9202	-0,6399	+0,9210	-0,6392	+0,8444	-0,6175
71	+1,5157	-1,0472	+1,5198	-1,0480	+1,4300	-1,0090
81	+1,0229	-0,5758	+1,0240	-0,5746	+0,9198	-0,5459
91	+1,3528	-1,0665	+1,3569	-1,0671	+1,2594	-1,0269
100	+0,3588	+0,2962	+0,3604	+0,2984	+0,4923	+0,2054

вариант 2

$k$	$x_1 \cdot 10^2$	$x_2 \cdot 10^2$	$x_1^{(0)} \cdot 10^2$	$x_2^{(0)} \cdot 10^2$	$(x_1)_r \cdot 10^2$	$(x_2)_r \cdot 10^2$
1	+1,2450	-1,0321	+1,0927	-0,9337	+1,2019	-1,0215
2	-0,9197	+0,1156	-0,8040	+0,3245	-0,9447	+0,1380
3	-0,4846	+0,3590	-0,3669	+0,3297	-0,4649	+0,3477
4	+1,6353	-0,9694	+1,4636	-0,8553	+1,6126	-0,9767
5	+0,0792	-0,3697	+0,0828	-0,4042	+0,0929	-0,3206
6	-0,9347	+0,6571	-0,7530	+0,5647	-0,9055	+0,6391
7	+1,3317	-0,4653	+1,2240	-0,3798	+1,3333	-0,4797
8	+0,9583	-0,6499	+0,8471	-0,6227	+0,8686	-0,6038
9	-1,1290	+0,7567	-0,9536	+0,6370	-1,1237	+0,7528
10	+0,4207	+0,2492	+0,4174	+0,2750	+0,4460	+0,2305

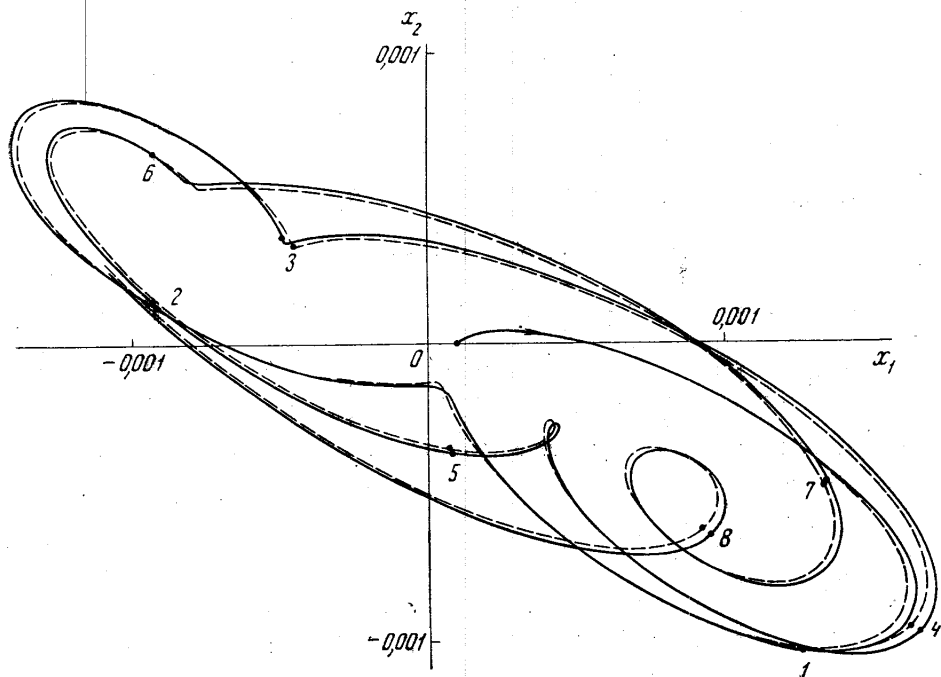


Рис. 1. Траектория движения для варианта 1 начальных условий. Прямая — траектория, полученная по аналитическому решению, пунктирная — траектория, полученная путем численного интегрирования. Цифры вдоль траекторий обозначают число оборотов Луны вокруг Земли. Начало координат находится в точке  $L_4$

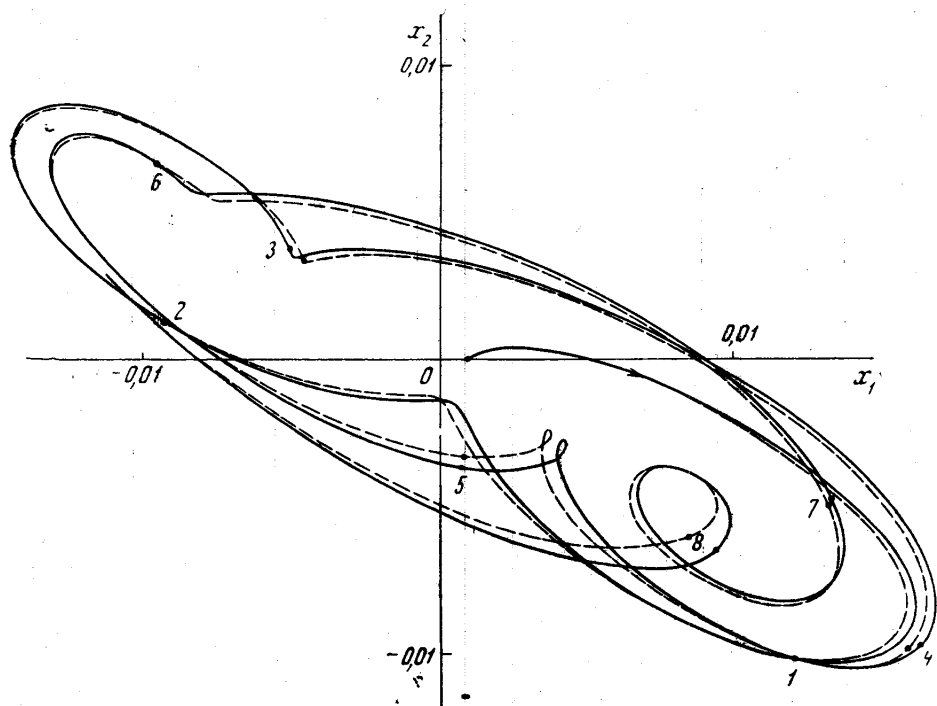


Рис. 2. Траектория движения для варианта 2 начальных условий. Обозначения те же, что на рис. 1

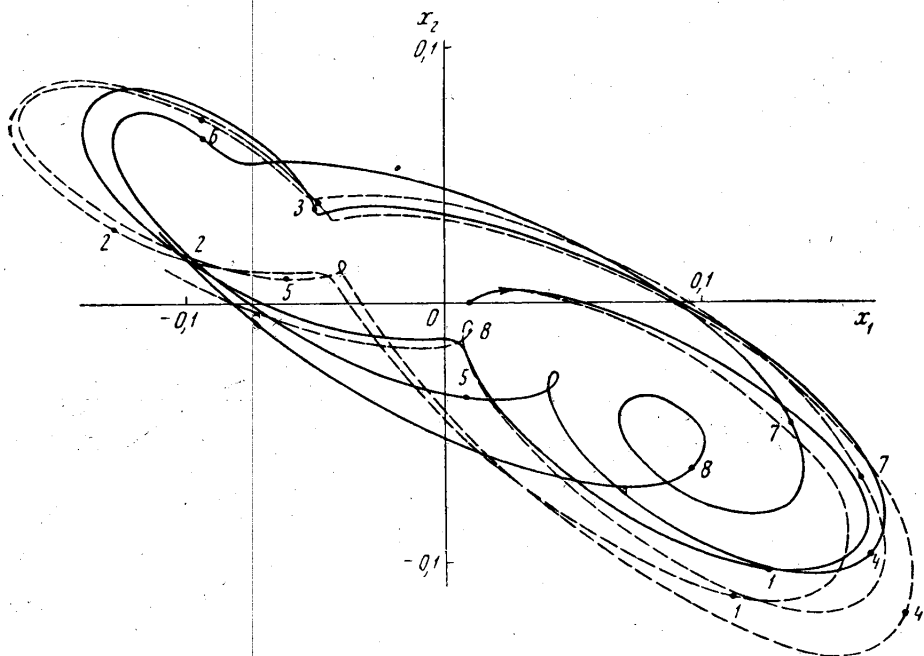


Рис. 3. Траектория движения для варианта 3 начальных условий. Обозначения те же, что на рис. 1

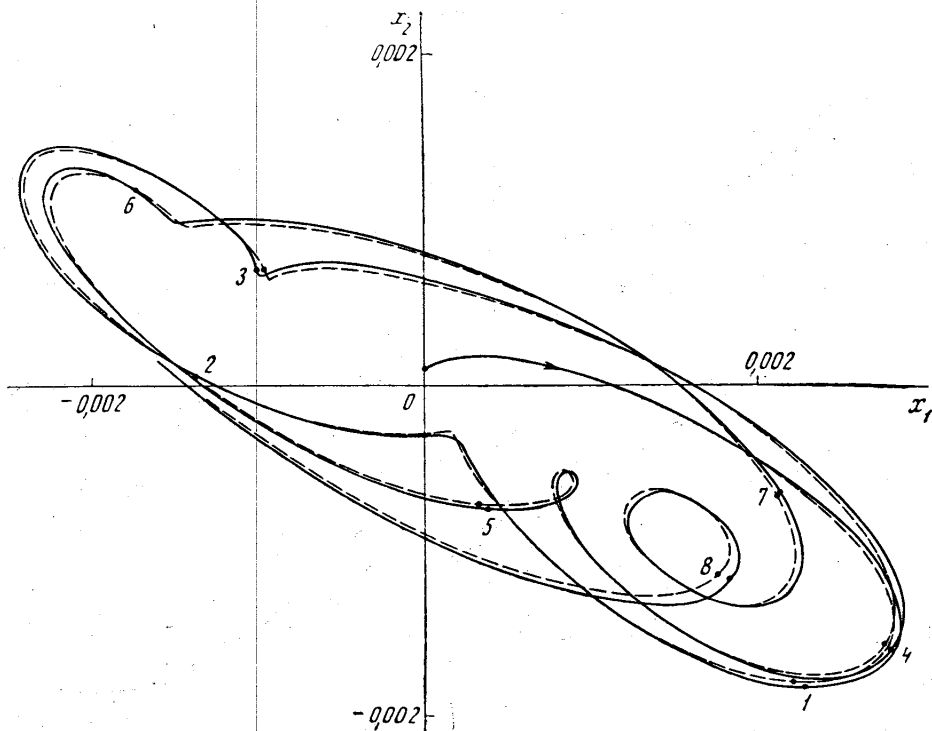


Рис. 4. Траектория движения для варианта 4 начальных условий. Обозначения те же, что на рис. 1

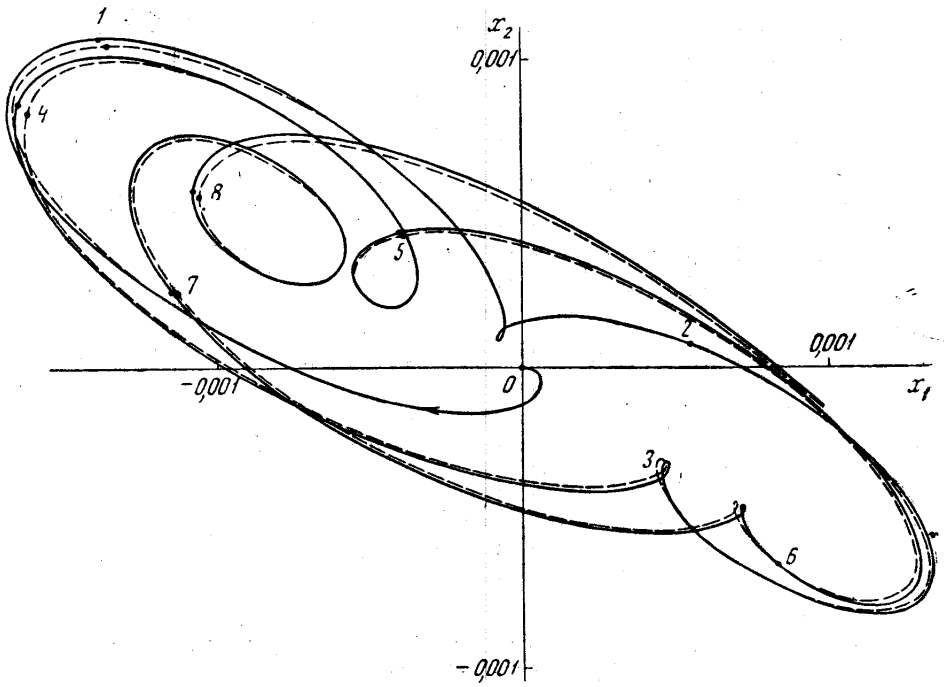


Рис. 5. Траектория движения для варианта 5 начальных условий. Обозначения те же, что и на рис. 1

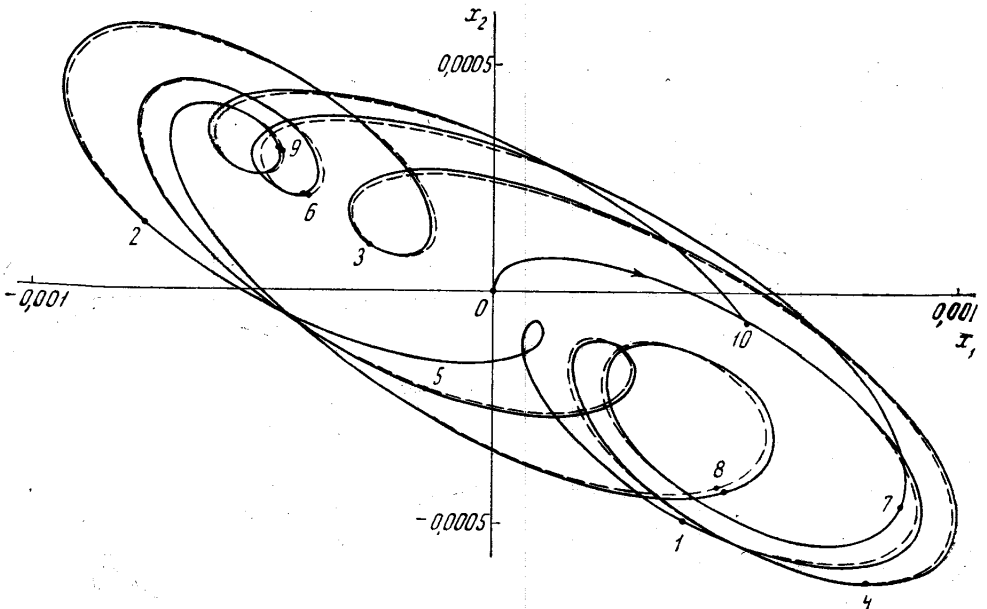


Рис. 6. Траектория движения для варианта 6 начальных условий. Обозначения те же, что на рис. 1

## вариант 3

$k$	$x_1 \cdot 10$	$x_2 \cdot 10$	$(x_1)_r \cdot 10$	$(x_2)_r \cdot 10$
1	+1,2450	-1,0321	+1,1013	-1,1341
2	-0,9197	+0,1156	-1,2943	+0,3022
3	-0,4846	+0,3590	-0,4838	+0,3887
4	+1,6353	-0,9694	+1,7620	-1,2928
5	+0,0792	-0,3697	-0,6119	+0,1091
6	-0,9347	+0,6571	-0,9289	+0,7266
7	+1,3317	-0,4653	-1,6034	-0,6703
8	+0,9583	-0,6499	+0,1009	-0,1085
9	-1,1290	+0,7567	-1,3493	+0,9102
10	+0,4207	-0,2492	+0,6089	+0,1970

## вариант 4

$k$	$x_1 \cdot 10^3$	$x_2 \cdot 10^3$	$(x_1)_r \cdot 10^3$	$(x_2)_r \cdot 10^3$
1	+2,3188	-1,8352	+2,2594	-1,7995
2	-1,3941	+0,0703	-1,3921	+0,0801
3	-0,9987	+0,7135	-0,9678	+0,6927
4	+2,8483	-1,6162	+2,7967	-1,5962
5	+0,3832	-0,7545	+0,3379	-0,7225
6	-1,7176	+1,1879	+1,6719	+1,1577
7	+2,1583	-0,6586	+2,1422	-0,6641
8	+1,8514	-1,1857	+1,7773	-1,1485
9	-1,9604	+1,2918	-1,9308	+1,2735
10	+0,4725	+0,5978	+0,5043	+0,5665

## вариант 5

$k$	$x_1 \cdot 10^3$	$x_2 \cdot 10^3$	$(x_1)_r \cdot 10^3$	$(x_2)_r \cdot 10^3$
1	-1,3636	+1,0638	-1,3348	+1,0415
2	+0,5495	+0,0847	+0,5394	+0,0860
3	+0,4633	-0,3571	+0,4483	-0,3397
4	-1,6170	+0,8596	-1,5884	+0,8438
5	-0,4009	+0,4486	-0,3911	+0,4415
6	+0,8437	-0,6542	+0,8212	-0,6391
7	-1,1438	+0,2534	-1,1323	+0,2534
8	-1,0769	+0,5844	-1,0513	+0,5710
9	+1,0256	-0,7451	+1,0066	-0,7331
10	-0,1235	-0,4596	-0,1371	-0,4435

## вариант 6

$k$	$x_1 \cdot 10^3$	$x_2 \cdot 10^3$	$(x_1)_r \cdot 10^3$	$(x_2)_r \cdot 10^3$
1	+0,4111	-0,4950	+0,3939	-0,4842
2	-0,7617	+0,1425	-0,7595	+0,1437
3	-0,2698	+0,0992	-0,2605	+0,0930
4	+0,8019	-0,6306	+0,7869	-0,6242
5	-0,1399	-0,2202	-0,1492	-0,2134
6	-0,4219	+0,2117	-0,4075	+0,2025
7	+0,8777	-0,4653	+0,8737	-0,4670
8	+0,5001	-0,4330	+0,4817	-0,4229
9	-0,4705	+0,3101	-0,4579	+0,3039
10	+0,5456	-0,0624	+0,5563	-0,0717

Обозначения в таблицах:  $k$  — число оборотов тел конечной массы (число лунных месяцев),  $x_1, x_2$  — координаты малой массы, полученные по формулам § 3 с точностью до  $\varepsilon^3$  включительно,  $x_1^{(0)} + \varepsilon x_1^{(1)}, x_2^{(0)} + \varepsilon x_2^{(1)}$  — те же координаты, но с точностью до  $\varepsilon^1$  включительно,  $x_1^{(0)}, x_2^{(0)}$  — те же координаты, но с точностью до  $\varepsilon^0$  включительно,  $(x_1)_r, (x_2)_r$  — координаты малой массы, полученные путем численного интегрирования

Наибольшее отклонение аналитических решений от численных за десять лунных месяцев составляет  $\sim 5\%$  для всех рассмотренных вариантов, кроме варианта 3, для которого отклонение достигает  $\sim 30\%$  и более. Это указывает на то, что для достаточно больших начальных условий при построении аналитических решений следует учитывать нелинейные члены.

Для варианта 1 проведено сравнение аналитических решений с результатами численного интегрирования на интервале времени  $\sim 7,5$  лет (100 лунных месяцев). Это сравнение показывает (см. таблицу), что с увеличением интервала времени отклонения между аналитическими решениями и решениями, полученными путем численного интегрирования, увеличиваются, однако качественное поведение траекторий, а также максимальные расстояния до точки  $L_4$  хорошо совпадают.

Кроме того, видно, что при проведении вычислений по полученным формулам в системе Земля—Луна можно ограничиться первым приближением, т. е.  $x \approx x^{(0)} + \varepsilon x^{(1)}$ . Это очень сильно упрощает формулы для расчетов, а отличие от решения с учетом членов второго порядка незначительно (в третьем знаке).

#### ЛИТЕРАТУРА

1. Дубошин Г. Н. Небесная механика. Аналитические и качественные методы. М., «Наука», 1964.
2. Малкин И. Г. Некоторые задачи теории нелинейных колебаний. М., Гостехиздат, 1956.
3. Чеботарев Г. А. Аналитические и численные методы небесной механики. М., «Наука», 1964.

Поступила в редакцию  
26. 6 1967 г.

Кафедра  
небесной механики и гравиметрии